

پاسخ لرزه‌یی ریزشمع‌های زاویه‌دار در خاک‌های لایه‌دار

واحد فیاسی* (استادیار)

فرانک محمدی دهشال (کارشناس ارشد)

دانشکده‌ی مهندسی عمران و معماری، دانشگاه ملایر

مهمنشی عمران شریف، (پاییز ۱۳۹۷) دوری ۲ - ۳، شماره ۲ / ۳، ص. ۱۳۵-۱۳۶، (پادشاهیت فن)

همواره پیچیدگی نیروهای واردہ به پی‌های عمیق از قبیل شمع‌ها و ریزشمع‌ها باعث اهمیت تحلیل دینامیکی آن‌ها می‌شود. ریزشمع به عنوان المان مقاوم مجاور خاک، حساسیت بالایی دارد، تا هرگونه نقص فنی در طراحی و اجرای آن کاسته شود. بررسی دینامیکی ریزشمع به علت کاربرد وسیع در انواع مختلف شرایط زمین، حائز اهمیت است. در نوشتار حاضر، به مدل‌سازی ریزشمع‌ها به صورت گروه‌های دویابی با اعمال زاویه‌های مختلف محیط خاک در ۲ حالت تک‌لایه و با لایه‌بندی مدل شده است. تحلیل دینامیکی با اعمال بار قائم روسازه به کلاهک ریزشمع‌ها و اعمال شتاب به کف مدل به صورت رکورد زلزله‌ی ال - سنترو و نیز شتاب هارمونیک سینوسی انجام شده است. مطالعات حاصل نشان می‌دهد که زاویه‌های ریزشمع‌ها از حالت قائم تا زاویه ۲۵° باعث کاهش میزان تنش واردہ در خاک می‌شود. از طرفی، مقدار بیشینه‌ی لنگر خمشی و نیروی محوری در نزدیکی کلاهک ریزشمع انفاق می‌افتد.

واژگان کلیدی: بررسی دینامیکی، ریزشمع، خاک تک‌لایه، خاک با لایه‌بندی، اندکش دینامیکی لایه‌های خاک.

v.ghiasi@malayeru.ac.ir
faranakmohamadi.ce@gmail.com

۱. مقدمه

در ناحیه‌هایی که خاک منطقه، جواب‌گوی تحمل و پایداری سازه و انتقال بارهای آن به کف بستر نباشد، گزینه‌ی پیشنهادی برای درنظر گرفتن پی‌سازه، استفاده از فونداسیون‌های عمیق است. ریزشمع‌ها به عنوان یک نوع المان مقاوم در خاک برای انتقال نیرو از سازه به لایه‌ی خاک با قابلیت باربری کافی استفاده می‌شوند. ریزشمع، غالباً جزء شمع‌های حفاری و درجا، البته با قطر کوچک (عدمتاً کمتر از ۳۰۰ میلی‌متر) است که اغلب با آرماتور تقویت می‌شود. همچنین ریزشمع‌ها در مواردی که پی‌سازه دچار تخریب و عدم پاسخ‌گویی به سازه باشد، استفاده می‌شوند. با توجه به نحوه اجرای ریزشمع‌ها که نسبت به دیگر عوامل سلیحی مشابه خود مزیت‌هایی دارند، بررسی دینامیکی ریزشمع در خاک‌های لایه‌دار مسئله‌ی حائز اهمیت تلقی می‌شود. پژوهش حاضر با درنظر گرفتن مزیت ذکر شده برای ریزشمع، به بررسی عددی آن از طریق نرم‌افزار المان محدود ABAQUS پرداخته است. این موضوع با درنظر گرفتن زاویه‌های مختلف برای ریزشمع در گروه‌های دویابی در ۲ حالت خاک‌های تک‌لایه و لایه‌دار و نیز اعمال شتاب هارمونیک و شتاب زلزله‌ی ال - سنترو بررسی شده است. عملکرد لرزه‌یی مناسب ریزشمع‌ها به قدری قابل توجه است که می‌توان گفت در طول زلزله‌هایی با شدت ارتعاش بالا، ریزشمع‌ها به علت

* نویسنده مسئول

تاریخ: دریافت ۱۳۹۵/۷/۶، اصلاحیه ۱۳۹۵/۹/۲۲، پذیرش ۱۳۹۵/۱۰/۵.

DOI:10.24200/J30.2018.1419

جدول ۱. خواص خاک و ریزشمع در خاک تکلايه.

ریزشمع	خاک	مصالح
مدل رفتاری	کشسان	خمیری (دراگر - پراگرا) کشسان
۲۵۰۰	۱۶۰۰	۱۷۰۰ $\rho(kg/m^3)$
۲۴	۱۵۴,۴۲	۸ $E(Mpa)$
۰,۳	۰,۲۳	۰,۴۵ μ
-	۳۸,۵۹°	- φ
-	۱	- ψ
-	۰,۸	- f
۵	-	۵ $\epsilon(%)$

جدول ۲. خواص خاک و ریزشمع در مدل خاک لایه دار.

ریزشمع	خاک	مصالح
مدل رفتاری	خمیری (دراگر - پراگرا)	کشسان
ضخامت (مترا)	لایه اول	لایه ای سوم
۱۰	۳	۲
۲۵۰۰	۱۷۰۰	۱۸۵۰ $\rho(kg/m^3)$
۲۴	۲۷۱	۱۵۴,۴۲ $E(Mpa)$
۰,۳	۰,۳۴	۰,۳۳ μ
-	۴۰,۵۶°	۳۸,۵۹° φ
-	۰,۸۵	۲ ψ
-	۲/۵	۰,۹ f
۵	-	- $\epsilon(%)$

جدول ۳. ابعاد محیط خاک و ریزشمع و کلاهک ریزشمع.

$t(m)$	$A(m^2)$	مقاطع
۱۵	10×10	محیط خاک
۱	$0,1^2\pi$	ریزشمع (مقاطع دایره بی) ρ
۵-۱۰	$0,1772 \times 0,1772$	ریزشمع (مقاطع مربعی) E
۰,۲۵	$2,15 \times 0,7$	کلاهک ریزشمع دایره بی μ
۰,۲۵	$2,1044 \times 0,6772$	کلاهک ریزشمع مربعی φ

در جدول های ۴ و ۵، خصوصیات موردنیاز برای وجود مشترک در خاک های تکلايه و لایه دار عنوان شده است. باز اعمالی روسازه معادل ۱۰ تن فرض شده است. درنهایت مش بندی مدل به صورت (node linear integration, hourglass) در نظر گرفته شده است. کف مدل برای هر ۶ درجه آزادی بسته و شرایط مرزی گیردار برای آن تعریف شده است. شکل ۱ (الف و ب) مدل مش بندی شده برای ریزشمع های قائم و مایل را نشان می دهد. همچنین در شکل ۲، جزئیات ابعادی مدل سازی مشخص شده است. شتاب اعمالی به دو صورت شتاب هارمونیک سینوسی $0,2g$ و شتاب زلزله ای واقعی ال - سنترو $0,32g$ با فرض میارای خطی به کف مدل اعمال شده است. شتاب نگاشت هارمونیک و شتاب نگاشت زلزله ای واقعی ال - سنترو در شکل ۳ (الف و ب) مشاهده می شود.

بسامد بنیادی خاک (f_{soil}) برابر $Hz/0,367$ تعریف شده است. برای درنظر گرفتن اندرکش خاک و ریزشمع و سر شمع ریزشمع که در تماس با خاک است، دو نوع سطح تماس بین ریزشمع و خاک تعریف شده است. سطح تماس با به صورت کاملاً چسبیده و یا به صورت اصطکاکی است که امکان لغزش را بین آنها فراهم می کند. تماس ها از نوع اصطکاکی و تماس عمودی است که تماس اصطکاکی با فرمول بندی penalty و تماس عمودی با فرمول بندی contact hard تعریف شده است. وجود جانبی ریزشمع در تماس با خاک از نوع اصطکاکی و وجه تماس کف ریزشمع و سر شمع با خاک به صورت عمودی است.

۳. صحبت سنجی مدل

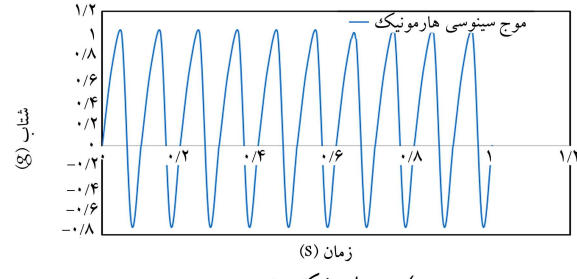
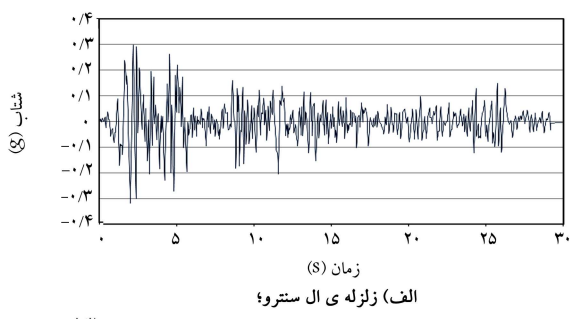
در جهت اطمینان از تاثیج مدل سازی انجام شده ای ریزشمع در خاک، با استفاده از نرم افزار ABAQUS و با توجه به فرضیات و ساده سازی هایی که در مراحل مدل سازی در نظر گرفته شده است، صحبت سنجی انجام شده است و برای آن از

جدول ۴. خصوصیات وجوه مشترک خاک و ریزشمع در خاک تک‌لایه.

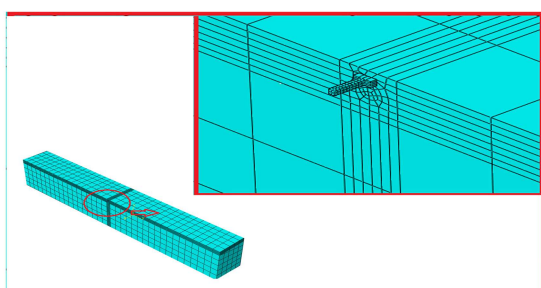
اندرکنشن	رفتار مماسی	رفتار عمودی
اصطکاک خاک (ناشی از اصطکاک)	تماس اصطکاکی، $f = 0,8^\circ$	تماس سخت
باربری خاک در انتهای ریزشمع (نرمال)	-	تماس سخت

جدول ۵. خصوصیات وجوه مشترک خاک و ریزشمع در خاک لایه‌دار.

اندرکنشن	رفتار مماسی	رفتار عمودی
اصطکاک خاک (ناشی از اصطکاک)	تماس اصطکاکی، $f = 0,6^\circ$	تماس سخت
اصطکاک خاک (ناشی از اصطکاک)	تماس اصطکاکی، $f = 0,4^\circ$	تماس سخت
اصطکاک خاک (ناشی از اصطکاک)	تماس اصطکاکی، $f = 0,8^\circ$	تماس سخت
باربری خاک در انتهای ریزشمع (نرمال)	-	تماس سخت

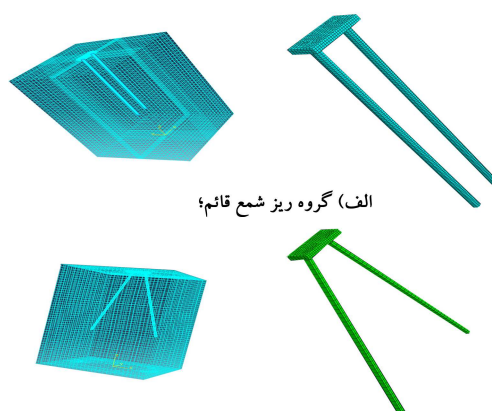


شکل ۳. شتاب نگاشت.

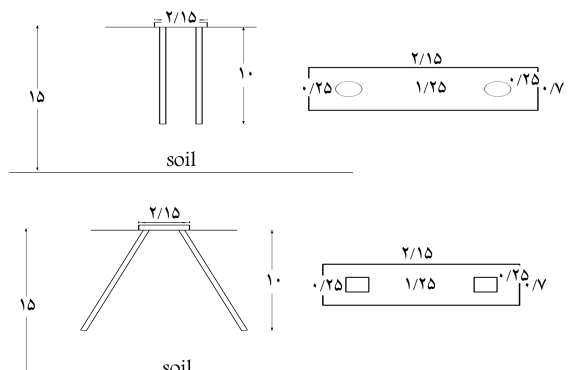


شکل ۴. مدل سازی انجام شده از مدل ساخته شده در پژوهشی در سال ۲۰۰۱.^[۱]

خمش در عمق ابتدایی ریزشمع و در نزدیکی کلاهک برابر $20 \times 2 \text{ KN.m}$ بوده است که این مقدار در مدل اخیر برابر $20 \times 8 \text{ KN.m}$ و پس از آن در میانه‌ی عمق برابر با مقدار 12 KN.m بوده است. مقدار به دست آمده در پژوهش حاضر با مقدار به دست آمده در مطالعه‌ی مذکور^[۱] تطابق نزدیکی دارد. میزان میانگین اختلاف در حدود ۴٪ بوده است.

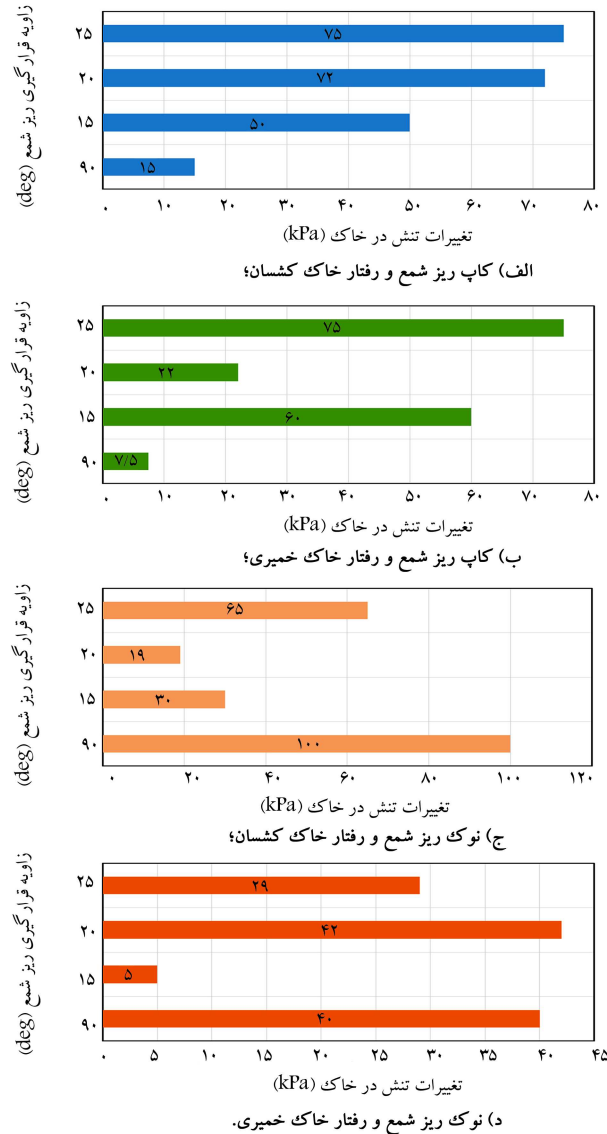


شکل ۱. مدل سازی گروه ریزشمع دوتایی با نرم افزار ABAQUS.



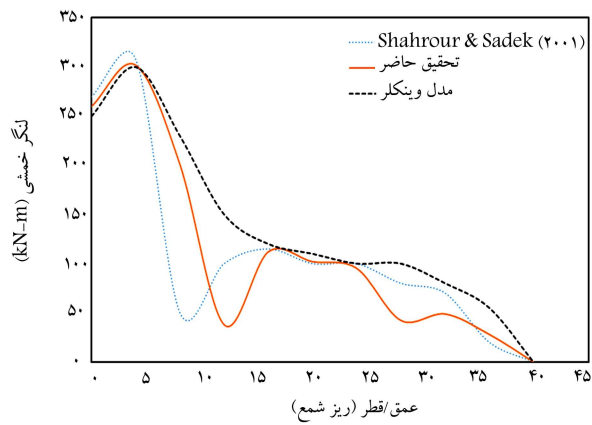
شکل ۱. جزئیات مدل سازی از نظر ابعاد کلاهک ریزشمع و محل قرارگیری آن‌ها در گروه.

مدل ساخته شده‌ی در سال ۲۰۰۱^[۱] استفاده شده است. شکل ۴، مدل سازی انجام شده‌ی مشابه با مدل مذکور را نشان می‌دهد؛ که مطابق آن، ابعاد خاک $15 \times 17 \times 15$ متر است. برای انجام تحلیل دینامیکی، بار متمرکز 15 تن در مرکز کلاهک ریزشمع وارد شده است. در شکل ۵، پاسخ ریزشمع در مورد خمش با مدل سازی توسط نرم افزار ABAQUS و نیز مدل وینکلر مقایسه و مطابقت مدل مذکور^(۱) با مدل ساخته شده نشان می‌دهد. با توجه به شکل ۵، بیشینه‌ی



شکل ۶. تغییرات تنش در خاک تک لایه با اعمال شتاب هارمونیک.

سر شمع ریزشمع در زاویه‌ی ۱۵ درجه برابر با بیشینه‌ی مقدار ۶۰ کیلوپاسکال برای شتاب ال - سنترو و ۸۰ کیلوپاسکال برای شتاب هارمونیک است. همچنین در شکل ۸ (ج و د)، مقدار تنش دریافتی خاک در نوک ریزشمع که در تماس با لایه‌ی خاک است، در بین زاویه‌های مطرح شده کمینه‌ی مقدار ۹۵ کیلوپاسکال در شتاب ال - سنترو و ۴۸ کیلوپاسکال در شتاب هارمونیک را نشان می‌دهد. با وجود این، مقدار تنش برای هر دو شرایط تنش اعمالی ال - سنترو و هارمونیک تا حدودی تطبیق دارند. پس زاویه‌ی ۱۵ درجه، بهترین زاویه برای دریافت تنش در خاک لایه‌دار است. در جدول ۶، مقایسه‌ی مقادیر تنش خاک در محدوده‌ی سر شمع ریزشمع و نوک آن برای حالت همگن و لایه‌دار با زاویه‌ی مناسب عنوان شده است. مطابق جدول مذکور مشخص است که زاویه‌های مناسبی که باید برای اعمال ریزشمع در خاک در نظر گرفته شوند، در خاک‌های تک لایه و لایه‌دار متفاوت است. در خاک تک لایه با شتاب لرزه‌ی واقعی، زاویه‌ی ۲۰ درجه و در خاک لایه‌دار، زاویه‌ی ۱۵ درجه مناسب است. همچنین لایه‌بندی خاک باعث کاهش مقدار زاویه‌ی قرارگیری ریزشمع در خاک به منظور کاهش توزیع تنش در خاک است.



شکل ۵. مقایسه‌ی تغییرات خمن در ریزشمع منفرد.

۴. نتایج تحلیل پارامتریک

۴.۱. توزیع تنش در خاک

همواره توزیع تنش در محدوده‌ی اتصال ریزشمع به سر شمع و در لایه‌های بالای خاک واقع در قسمت کلاهک ریزشمع به مقدار بیشینه است و با پیشروع از کلاهک به سمت نوک ریزشمع، تنش‌ها در خاک اطراف ریزشمع کاهش می‌یابند؛ که این امر به دلیل میرایی خاک است و با افزایش عمق، اثر نیروی مقلی روسازه واقع بر خاک کاهش می‌یابد و در واقع نیروی واردۀ از بار مذکور را مستهلک می‌گرداند. در پخش بعد، توزیع تنش در خاک با وجود ریزشمع‌ها در دو حالت خاک تک لایه و لایه‌دار بررسی و درنهایت، بهترین زاویه برای اعمال گروه ریزشمع ۲ تایی در خاک مطحّب شده است.

۴.۱.۱. مقادیر توزیع تنش در خاک تک لایه (با اعمال شتاب هارمونیک)

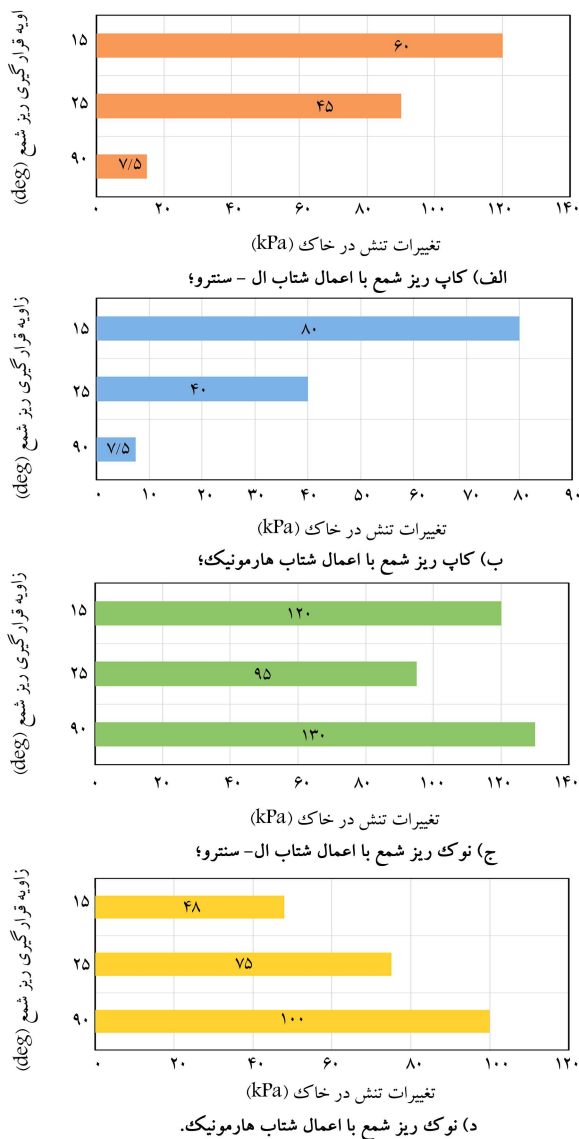
شکل ۶، تغییرات تنش خاک تک لایه در حالت اعمال شتاب هارمونیک را نشان می‌دهد. در شکل ۶ (الف و ب) مشخص است که بیشینه‌ی تنش دریافتی برای هر دو فرض خاک با رفتار کشسان و خمیری در سر شمع ریزشمع معادل ۷۵ کیلوپاسکال است که در زاویه‌ی ۲۵ درجه صورت گرفته است. شکل ۶ (ج و د)، کمینه‌ی تنش در نوک ریزشمع با فرض رفتار کشسان برای خاک در زاویه‌ی ۲۰ درجه معادل ۱۹ کیلوپاسکال و با فرض رفتار خمیری برای خاک در زاویه‌ی ۱۵ درجه معادل ۵ کیلوپاسکال نشان می‌دهد. پس زاویه‌ی ۲۵ درجه، مناسب‌ترین زاویه برای گروه ریزشمع دو تایی در خاک تک لایه با شتاب هارمونیک در جهت توزیع تنش در خاک است.

۴.۱.۲. مقادیر توزیع تنش در خاک تک لایه (شتاب ال - سنترو)

در شکل ۷، مقادیر تنش دریافتی خاک تک لایه با اعمال شتاب ال - سنترو در سر شمع و نوک ریزشمع نشان داده است. همان‌طور که در شکل ۷ (الف و ب) مشاهده می‌شود، در خاک تک لایه با فرض رفتار کشسان و خمیری، بیشینه‌ی تنش خاک معادل ۷۲ کیلوپاسکال است که در سر شمع ریزشمع با زاویه‌ی ۲۰ درجه حاصل شده است. همچنین با توجه به شکل ۷ (ج و د)، توزیع تنش کمینه در نوک ریزشمع در حالت کشسان برابر ۵۵ کیلوپاسکال در زاویه‌ی ۲۰ درجه و در حالت خمیری برابر ۵ کیلوپاسکال است که در زاویه‌ی ۱۵ درجه به دست آمده است. زاویه‌ی انتخابی با شتاب ال - سنترو در این حالت زاویه‌ی ۲۰ درجه است که باعث دریافت تنش بیشینه در سر شمع و کمینه‌ی آن در خاک می‌شود.

۴.۱.۳. مقادیر توزیع تنش در خاک لایه‌دار

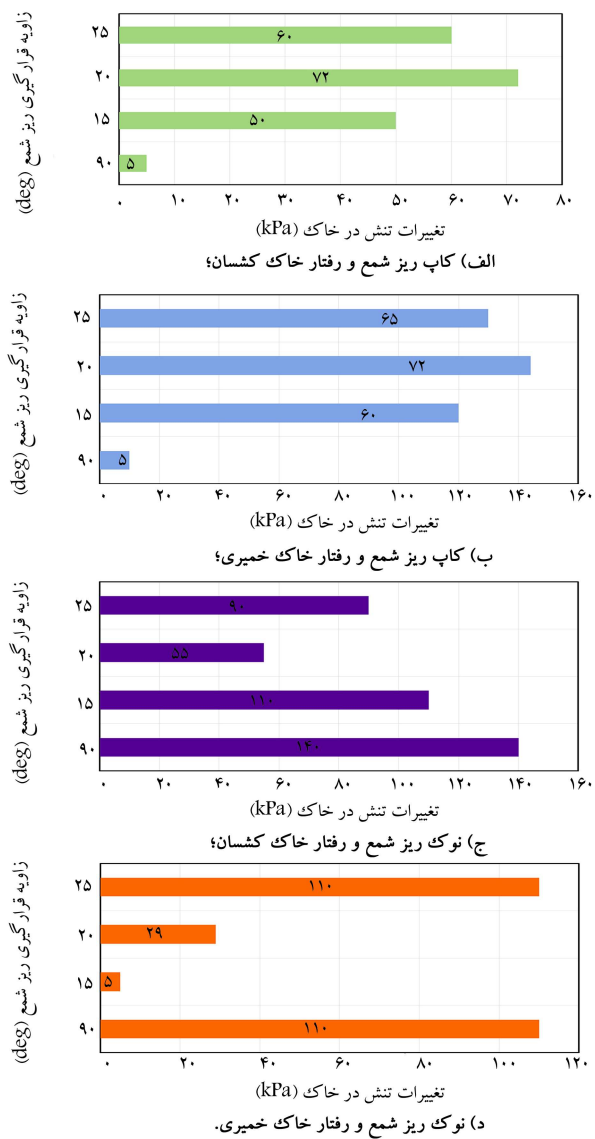
با توجه به شکل ۸ (الف و ب) مشخص است که تغییرات تنش در خاک در ناحیه‌ی



شکل ۸. تغییرات تنش در خاک لایه‌دار.

می‌دهد. با توجه به جدول مذکور می‌توان دریافت که زاویه‌های ۲۰ و ۲۵ درجه در حالت اعمال شتاب واقعی زلزله‌ی ال - سنترو و رفتار واقعی خاک با فرآیند خمیری به دلیل عدم بالازدگی نسبت به ریزشمع قائم و ریزشمع با زاویه‌ی ۱۵ درجه با میزان بالازدگی ۱ میلی‌متر مناسب تر هستند، پس نسبت به آن دو زاویه ترجیح داده‌سی شوند. البته باید اشاره کرد که مقادیر جابه‌جایی در زاویه‌های مختلف، تفاوت چندانی از نظر مقادیر با هم ندارند؛ با وجود این، عدم بالازدگی نسبت به مقادار کمی بالازدگی برای تحلیل لرزه‌ی ترجیح داده می‌شود. در مورد میزان جابه‌جایی نسبی در طول ریزشمع‌های گروه ۲ تابی که در جدول ۸ نشان داده است، باید گفت کمترین میزان جابه‌جایی نسبی در شرایط لرزه‌ی واقعی برای زاویه‌ی ۲۵ درجه با مقدار ۱۲ میلی‌متر اتفاق می‌افتد. در شرایط اعمال شتاب هارمونیک نیز برای زاویه‌ی ۲۰ درجه، کمترین مقادیر جابه‌جایی نسبی به میزان ۹۰ میلی‌متر بخوبی می‌دهد.

۲.۲.۴. جابه‌جایی نسبی و میزان بالازدگی در خاک لایه‌دار
با توجه به جدول ۹، در خاک لایه‌دار برای گروه ریزشمع ۲ تابی در زاویه‌های ۲۰ و ۳۰



شکل ۷. تغییرات تنش در خاک تک‌لایه با اعمال شتاب ال - سنترو.

جدول ۶. مقایسه‌ی تغییرات تنش خاک در محدوده‌ی سر شمع ریزشمع و نوک آن.

نوع خاک	زاویه‌ی تنش ریزشمع (درجه)	شتتاب (g)
همگن	۲۵°	شتتاب هارمونیک
۲۰°	۲۰°	شتتاب ال - سنترو
۱۵°	۱۵°	شتتاب هارمونیک
لایه‌دار	۱۵°	شتتاب ال - سنترو

۲.۴. جابه‌جایی نسبی خاک و میزان بالازدگی

اینکه با افزایش تعداد ریزشمع‌ها مقادیر مربوط به جابه‌جایی نسبی کاهش می‌یابد، امری مسلم است؛ اما اینکه زاویه‌های قرارگیری ریزشمع‌ها در خاک نیز تا چه حد در این مورد تأثیرگذار هست، موضوعی است که در ادامه بررسی شده است.

۲.۴. جابه‌جایی نسبی و میزان بالازدگی در خاک تک‌لایه
جدول ۷، مقادیر بالازدگی نسبی در طول ریزشمع در مورد خاک تک‌لایه را نشان

زاویه	شتاب هارمونیک (درجه)	شتاب ال - سنترو (کشسان) (خمیری)	شتاب هارمونیک (کشسان) (خمیری)	شتاب ال - سنترو (خمیری)
۹۰°		5×10^{-3}	۰	2×10^{-3}
۱۵°		1×10^{-3}	۰	2×10^{-3}
۲۰°		1×10^{-3}	3×10^{-3}	2×10^{-3}
۲۵°		3×10^{-3}	۰	2×10^{-3}

جدول ۸. مقادیر جابه جایی نسبی در طول ریزشمع (متر) - خاک تکلايه.

زاویه	شتاب هارمونیک (درجه)	شتاب ال - سنترو (کشسان) (خمیری)	شتاب هارمونیک (کشسان) (خمیری)	شتاب ال - سنترو (خمیری)
۹۰°		5×10^{-4}	15×10^{-5}	6×10^{-6}
۱۵°		7×10^{-4}	48×10^{-5}	6×10^{-4}
۲۰°		7×10^{-5}	9×10^{-7}	6×10^{-5}
۲۵°		14×10^{-4}	8×10^{-5}	15×10^{-4}

جدول ۹. مقادیر بالازدگی در طول ریزشمع - خاک لایهدار.

زاویه	شتاب هارمونیک (درجه)	شتاب ال - سنترو (خمیری)	شتاب هارمونیک (کشسان) (خمیری)	شتاب ال - سنترو (خمیری)
۹۰°		۰	1×10^{-3}	۰
۱۵°			1×10^{-3}	1×10^{-3}
۲۰°			1×10^{-3}	۰
۲۵°			1×10^{-3}	7×10^{-3}
۳۰°			1×10^{-3}	۰

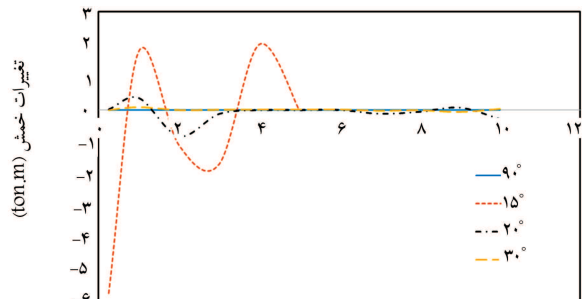
جدول ۱۰. مقادیر جابه جایی نسبی در طول ریزشمع - خاک لایهدار.

زاویه	شتاب هارمونیک (درجه)	شتاب ال - سنترو (خمیری)	شتاب هارمونیک (کشسان) (خمیری)	شتاب ال - سنترو (خمیری)
۹۰°		$2,5 \times 10^{-4}$	6×10^{-5}	
۱۵°		2×10^{-4}	12×10^{-5}	
۲۰°		$3,5 \times 10^{-5}$	2×10^{-5}	
۲۵°		16×10^{-3}	16×10^{-3}	
۳۰°		1×10^{-5}	2×10^{-5}	

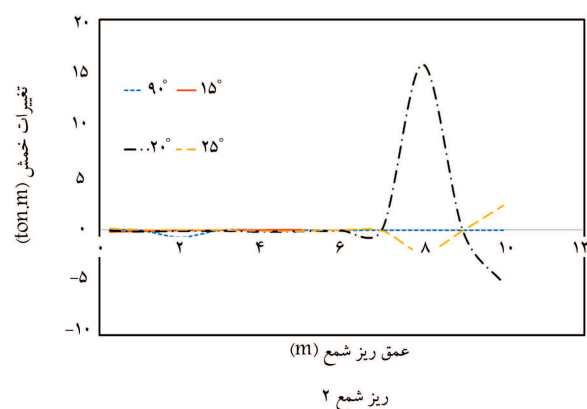
درجه در شرایط لرزه‌بی واقعی و رفتار خمیری خاک، هیچ‌گونه بالازدگی رخ نمی‌دهد. همچنین مطابق جدول ۱۰، در خاک لایهدار کمینه‌ی میزان جابه جایی نسبی در طول ریزشمع در زاویه‌ی ۱۵ درجه معادل 12×10^{-5} میلی متر در شرایط لرزه‌بی واقعی رخ می‌دهد و برای شتاب هارمونیک در زاویه‌ی ۲۰ با مقدار کمینه‌ی $0,35 \text{ g}$ میلی متر است. با توجه به نتایجی که دریافت شده است، تأثیر زاویه‌ی ریزشمع در کاهش مقادیر جابه جایی نسبی و بالازدگی خاک به واضح مشخص است. همان‌طور که مشخص است، زاویه‌ی ۲۵ درجه در تمام موارد و هر دو مورد خاک‌های تکلايه و لایهدار تأثیر بسیاری دارد.

۳.۴. تغییرات خمین در عمق ریزشمع‌های گروه

در شکل‌های ۹ الی ۱۲، تغییرات خمین در عمق ریزشمع برای هر دو حالت اعمال شتاب هارمونیک وال - سنترو در خاک‌های تکلايه و لایهدار مشخص شده است.

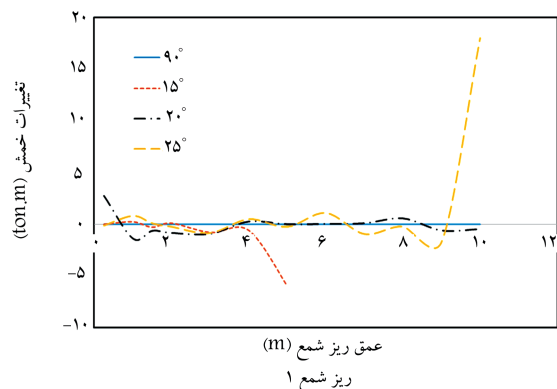


ریز شمع ۱

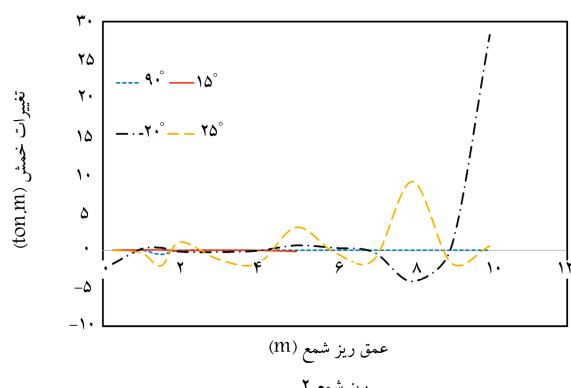


ریز شمع ۲

شکل ۹. مقایسه‌ی تغییرات خمین در عمق ریزشمع‌های گروه دوتایی با اعمال شتاب هارمونیک در خاک تکلايه.



ریز شمع ۱



ریز شمع ۲

شکل ۱۰. مقایسه‌ی تغییرات خمین در عمق ریزشمع‌های گروه دوتایی با اعمال شتاب ال - سنترو در خاک تکلايه.

با توجه به شکل ۹، می‌توان دریافت که تغییرات خمش مذکور در عمق ریزشمع با شتاب هارمونیک در زاویه‌های ۱۵ و ۲۰ درجه در خاک تک‌لایه، بیشترین مقدار را دارد. همچنین با توجه به مطالعات انجام‌شده در سال ۲۰۰۱ بر روی ریزشمع منفرد در خاک تک‌لایه^[۱۱] و تیز مطالعات دیگری در سال ۲۰۱۰ بر روی سرشمع دوناتی از گروه ریزشمع در خاک دولایه^[۱۲] برابر است.

۴.۳.۴. تغییرات خمش در خاک تک‌لایه

از روی شکل ۹ که تغییرات خمش در عمق ریزشمع‌های گروه ۲ تایی تحت شتاب هارمونیک را نشان می‌دهد، می‌توان دریافت که لنگر خشمی برای زاویه‌ی ۲۵ درجه کمترین مقدار را دارد. همچنین برای زاویه‌های ۱۵ و ۲۰ درجه، بیشترین تغییرات خمش در ریزشمع ۱ در نزدیکی سرشمع و برای ریزشمع ۲ در انتهای عمق ریزشمع مشاهده می‌شود. با توجه به شکل ۱۰ که تغییرات خمش در عمق ریزشمع‌های گروه ۲ تایی تحت شتاب ال - سنترو را نشان می‌دهد، بین زاویه‌های ۲۰ و ۲۵ درجه، تغییرات زیادی وجود دارد. ریزشمع ۱ در زاویه‌ی ۱۵ درجه در انتهای بیشینه‌ی خمش و ریزشمع ۲ در زاویه‌ی ۲۰ درجه، بیشینه‌ی خمش را در انتهای دارند.

۴.۲.۳. تغییرات خمش در خاک لایه‌دار

تغییرات خمش در خاک لایه‌دار نسبت به خاک تک‌لایه برای ریزشمع بسیار بیشتر است. با توجه به شکل ۱۱ مشخص است که بیشینه‌ی تغییرات خمش در ریزشمع ۱ در زاویه‌ی ۱۵ درجه در انتهای آن بوده و در ریزشمع ۲، در زاویه‌ی ۲۰ درجه در انتهای رخ داده است. همچنین زاویه‌ی ۲۵ درجه نسبت به دیگر زاویه‌ها با توجه به کمترین تغییرات خمشی در شتاب هارمونیک بهتر است. با توجه به شکل ۱۲، نیز زاویه‌ی ۳۰ درجه برای شتاب لزبی‌ال - سنترو در هر دو ریزشمع ۱ و ۲ با توجه

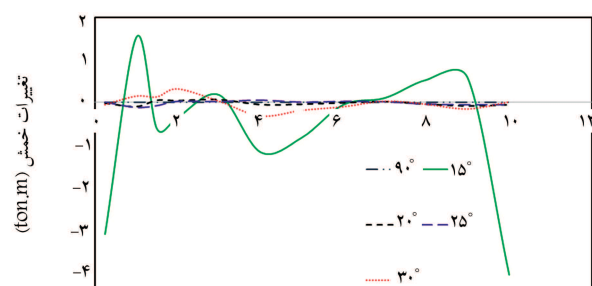
به کمترین تغییرات خمشی در عمق، تغییرات خمش متناسبی دارد. همچنین مقادیر لنگر خشمی بیشینه‌ی تحت بار هارمونیک سینوسی با شتاب ۰/۲g بیشتر از حالت زلزله‌ی واقعی است. ذکر این نکته با مطالعه‌ی انجام‌شده‌ی در سال ۲۰۱۲^[۱۳] که مدل‌سازی ۳D گروه شمع با اعمال شتاب هارمونیک و زلزله‌ی واقعی کوکاتلی^۲ (۱۹۹۹) با بسامد ۰,۹Hz انجام داده‌اند، مشخص می‌شود که شتاب به وجود آمده در کلاهک و روسازه در زلزله‌ی واقعی بسیار کمتر بوده است. مقادیر خمش بیشینه‌ی نوشتار حاضر هم مشابه با مطالعات اخیر است.^[۱۴] با توجه به نتایج بدست آمده، تغییرات خمش در خاک لایه‌دار با توجه به زاویه‌های بررسی شده در زاویه‌ی ۳۰ درجه برای ریزشمع تحت شتاب هارمونیک و شتاب زلزله‌ی ال - سنترو، پاسخ‌گوی مناسبی خواهد بود.

۴.۴. تغییرات نیروی محوری

در بررسی مورد ذکر شده ضمن بررسی زاویه‌های ریزشمع، طول آن نیز مورد توجه است و همان‌طور که در جدول‌ها، خصوصیات آن‌ها مطرح شده بود، ریزشمع با طول‌های ۵ و ۱۰ متری نیز مدل شده است.

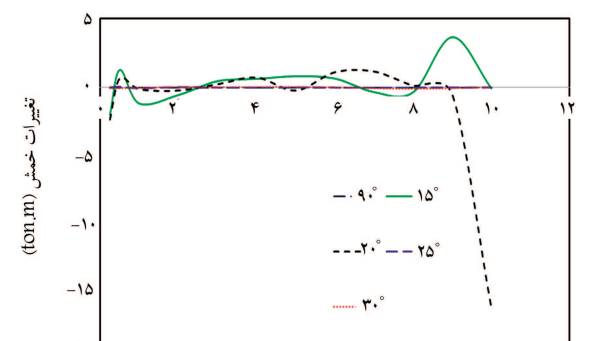
۴.۱.۴. نیروی محوری در ریزشمع‌های خاک تک‌لایه

به طور کلی باید گفت که مقدار نیروی دریافتی ریزشمع‌ها تحت تأثیر شتاب اعمالی و نیز مقدار باروارده از روسازه در کل طول ریزشمع پخش می‌شود. اما همواره مقدار بیشینه در محدوده‌ی سرشمع ریزشمع و نیز نوک ریزشمع که در تماس با خاک است، اتفاق می‌افتد و همواره نیروی بیشینه در سرشمع به تدریج تا عمق ۲ متری کاسته می‌شود و در میانه‌ی عمق مسیر ثابتی را طی می‌کند. در جدول ۱۱، مقادیر نیروی محوری ریزشمع در سرشمع و نوک آن مشخص شده است. در مورد خاک تک‌لایه با وجود عدم تغییرات در عمق خاک باید گفت افزایش زاویه‌ی ریزشمع تا



عمق ریزشمع (m)

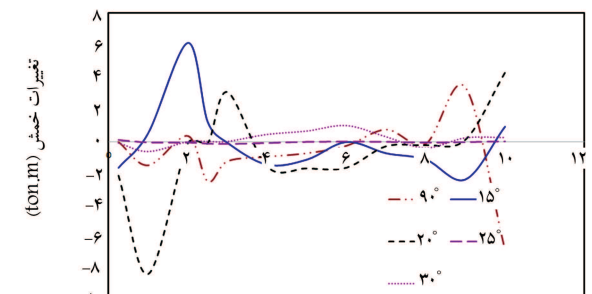
ریزشمع ۱



عمق ریزشمع (m)

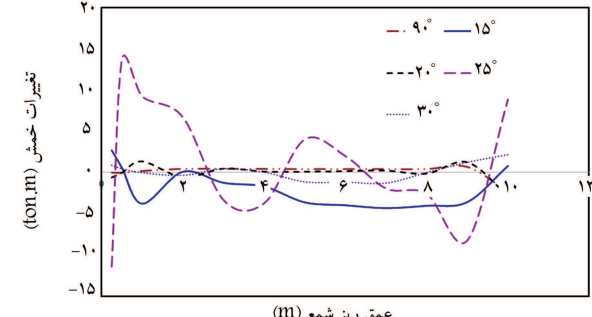
ریزشمع ۲

شکل ۱۱. مقایسه‌ی تغییرات خمش در عمق ریزشمع‌های گروه دوتایی با اعمال شتاب هارمونیک در خاک لایه‌بندي.



عمق ریزشمع (m)

ریزشمع ۱



عمق ریزشمع (m)

ریزشمع ۲

شکل ۱۲. مقایسه‌ی تغییرات خمش در عمق ریزشمع‌های گروه دوتایی با اعمال شتاب ال - سنترو در خاک با لایه‌بندي.

جدول ۱۳. مقادیر نیروی محوری در ریزشمع‌های خاک لایه‌دار (شتاب لرزه‌بی).

شتاب ال - سنترو					
زاویه‌ی ریزشمع			ریزشمع ۱		
زاویه‌ی ریزشمع	سرشمع	عمق	سرشمع	عمق	زاویه‌ی ریزشمع
۷۵	۱۵۰	۲۳,۶	۸۵,۷	۹۰°	
۱۰۲۰	۳۰۵	۲۱۷	۱۵۵	(۵ متر)	
۵۴۸	۲۹۷	۷۸۲	۱۱۴	(۱۰ متر)	
۴۱۴	۱۰۶	۲۲۸	۱۱۱	۲۰°	
۲۸۴	۷۸۰	۳۳۶	۵۶,۸	۲۵°	
۵۲,۸	۲۰۴	۱۴۰	۵,۵۹	(۵ متر)	
۶۴,۲۱	۱۲۵	۲۱۱	۱,۳۴	(۱۰ متر)	

۱۵ و ۳۰ درجه نیز مشخص می‌شود که طول بیشتر باعث کاهش نیروی دریافتی سر شمع می‌شود. البته ریزشمع ۵ متری، چون در مرز دولایی خاک قرار می‌گیرد و از مرز دو لایه‌ی خاک عبور می‌کند، در نوک ریزشمع، نیروی محوری بیشتری دارد.

جدول ۱۱. مقادیر نیروی محوری در ریزشمع‌ها در خاک تک‌لایه (KN).

شتاب هارمونیک					
زاویه‌ی ریزشمع			ریزشمع ۱		
زاویه‌ی ریزشمع	سرشمع	عمق	سرشمع	عمق	زاویه‌ی ریزشمع
۹۹,۱	۳۰,۷	۲۰۵	۶۳,۴	۹۰°	
۴۱,۸	۱۰۱	۲۱۹	۱۷۹	۱۵°	
۴۵	۱۷,۴	۲۴	۵۹,۴	۲۰°	
۱۰۶	۴,۳۵	۸,۱۹	۶۲	۲۵°	

شتاب ال - سنترو					
زاویه‌ی ریزشمع			ریزشمع ۱		
زاویه‌ی ریزشمع	سرشمع	عمق	سرشمع	عمق	زاویه‌ی ریزشمع
۳۸	۲۸,۳	۱۵۶	۶۰,۵	۹۰°	
۲۳,۸	۳۴۷	۱۱۷	۴۱,۷	۱۵°	
۲۴,۷	۱۳,۳	۱۰۴	۲۲۱	۲۰°	
۴۱,۱	۲۵۹	۷۲۶	۷۲,۸	۲۵°	

جدول ۱۲. مقادیر نیروی محوری در ریزشمع‌های خاک لایه‌دار (شتاب هارمونیک).

شتاب هارمونیک					
زاویه‌ی ریزشمع			ریزشمع ۱		
زاویه‌ی ریزشمع	سرشمع	عمق	سرشمع	عمق	زاویه‌ی ریزشمع
۲۴۲	۳۸۵	۱۵۴	۳۶,۲	۹۰°	
۱۴۳	۲۸۴	۵۱,۶	۸,۵۹	(۵ متر)	
۱۴,۶	۷۶,۴	۱۱۶	۱۵,۹	(۱۰ متر)	
۱۰۲	۱۱۷	۳۱,۴	۱۱,۳	۲۰°	
۸,۳	۷۳,۵	۶۹	۱۸,۴	۲۵°	
۱۱۷	۱۹,۳	۱۱,۳	۳۷,۲	(۵ متر)	
۴۳,۹	۱۳,۴	۷,۴۴	۴۵	(۱۰ متر)	

۱. توزیع تنش به علت میلایی خاک در محدوده سر شمع ریزشمع و در لایه‌های بالایی خاک بیشینه بوده است و در ادامه، عمق ریزشمع به علت کاهش اثر نیروی ثقلی، تنش‌ها در خاک اطراف ریزشمع‌ها کاهش یافته است.

۲. با توجه به نمودارهای حاصل از توزیع تنش و نیز جدول ۶ که به مقایسه‌ی تنش خاک تک‌لایه و لایه‌دار پرداخته است، مشخص می‌شود که در خاک تک‌لایه، زاویه‌ی مناسب برای ریزشمع‌ها در جهت توزیع مناسب تنش زاویه ۲۰ درجه و در خاک لایه‌دار، زاویه‌ی مذکور برابر ۱۵ درجه است.

۳. با توجه به جدول‌های ۷ الی ۱۰، با مقایسه‌ی مقادیر جابه‌جایی نسبی و مقادیر بالازدگی در خاک تک‌لایه و لایه‌دار زاویه ۲۰ درجه برای قرارگیری ریزشمع‌ها در خاک زاویه‌ی مناسبی است.

۴. همواره توزیع خمس بین ریزشمع‌های ۱ و ۲ به صورت مناسب انجام می‌شود. وقتی ریزشمع ۱ در سر شمع بیشینه می‌شود، ریزشمع ۲ درگروه در انتهای خود بیشینه‌ی مقدار را خواهد داشت.

۱۵ درجه، مؤثر و باعث کاهش نیروی محوری می‌شود و بعد از آن حتی افزایش راوه‌ی تدریجی باعث افزایش نیروی محوری می‌شود.

۴.۴. نیروی محوری در ریزشمع‌های خاک با لایه‌بنده در جدول‌های ۱۲ و ۱۳، مقادیر نیروی محوری در خاک لایه‌دار برای هر دو شتاب اعمالی هارمونیک و لرزه‌بی ارائه شده است. مشخص است که نیروی محوری نیز مانند پارامترهای دیگر بین ریزشمع‌های گروه، توزیع می‌شود. طوری که مقدار بیشتر در ریزشمع ۱ باعث مقدار کمتر در ریزشمع ۲ می‌شود. در شتاب هارمونیک، افزایش زاویه تا ۲۵ درجه باعث کاهش مقدار نیروی محوری و پس از آن در زاویه ۳۰ درجه، مقدار نیروی محوری از حالت قائم بیشتر شده است. در شتاب لرزه‌بی واقعی، افزایش زاویه‌های ریزشمع از ۹۰° به ۳۰° درجه به نوعی باعث کاهش نیروی محوری در سر شمع ریزشمع می‌شود. از طرفی با مقایسه‌ی طول ریزشمع در زاویه‌های

محوری در سر شمع می شود و زاویه بزرگ تر تأثیر معکوس در مقادیر نیروی محوری دارد.

۸. در خاک لایه دار افزایش زاویه تا 30° درجه باعث کاهش نیروی محوری می شود. البته باید توجه کرد در یک زاویه برابر ریزشمع با طول بزرگ تر برای دریافت نیروی محوری بهتر است و همواره ارجح است که طول ریزشمع تا حدی باشد که ریزشمع از مرز جدایی لایه های خاک عبور کند.

۵. با توجه شکل ۱۰، در شتاب لرزه‌یی واقعی زاویه 90° درجه برای ریزشمع در خاک تک لایه، تغییرات خمشی مناسبی دارد.

۶. با توجه به شکل ۱۲، در خاک لایه دار در زاویه بزرگ تر معادل 30° درجه، تغییرات مناسبی خواهد داشت.

۷. در خاک تک لایه افزایش زاویه ریزشمع تا 15° درجه باعث کاهش نیروی

پانوشت‌ها

1. cap
2. Kocalli

منابع (References)

1. Kishishita, T., Saito, E. and Miura, F. "Dynamic response characteristics of structures with micro-pile foundation system", 12WCEE (2000).
2. Olyaei, M. and Khakpour, K. "The impact of a hard cap pile group behavior under seismic loading", *Civil Engineering Sharif*, **2**(30), pp. 45-68 (2014).
3. Sadek, M. and Isam, S. "Three-dimensional finite element analysis of the seismic behavior of inclined micro-piles", *Soil Dynamics and Earthquake Engineering*, **24**(6), pp. 473-485 (2004).
4. Dezi, F., Carbonari, S. and Morici, M. "A numerical model for dynamic analysis of inclined pile groups", *Earthquake Engineering & Structural Dynamics*, **45**(1), pp. 45-68 (2016).
5. Kalkan, E. "Nonlinear modeling of micro-pile foundation systems", University of California Davis (2004).
6. Shahrour, I. and Juran, I. "Seismic behaviors of micro-pile systems", *Ground Improvement*, **8**(3), pp. 109-120 (2004).
7. Lee, T.H., Chul, I.J. and Kim, C.Y. "A Method for reinforcing the ground adjacent to the footing using micro-piles", *Marine Georesources & Geotechnology*, **34**(4), pp. 341-355 (2014).
8. Zhaoyu, W. and Guoxiong, M. "Numerical analysis of seismic performance of embankment supported by micro-piles", *Marine Georesources and Geotechnology*, **30**(1), pp. 52-62 (2012).
9. Alsaleh, H. and Shahrour, I. "Influence of plasticity on the seismic soil-micro-piles-structure interaction", *Soil Dynamics and Earthquake Engineering*, **29**(3), pp. 574-578 (2009).
10. Nusier, O.K., Alawneh, A.S. and Abdullatit, B.M. "Small-scale micro-piles to control heave on expansive clays", *Proceedings of the Institution of Civil Engineers, Ground Improvement*, **162**(1), pp. 27-35 (2009).
11. Shahrour, I., Sadek, M. and Ousta, R. "Seismic behavior of micro-piles used as foundation support elements", *Transportation Research Record*, **1772**, pp. 84-90 (2001).
12. Wang, M. and Han, J. "Numerical modelling for ground improvement of batter micro-piles on liquefiable soils", *Ground Improvement and Geosynthetics* (2010).
13. Chehade, F.H., Sadek, M. and Bachir, D. "Non linear global numerical modeling of pile group under seismic loading", 15 WCEE, LISBOA (2012).